

ЭНЕРГЕТИЧЕСКИЕ СПЕКТРЫ ПЕРВИЧНЫХ ПРОТОНОВ И ДРУГИХ ЯДЕР В ОБЛАСТИ ЭНЕРГИЙ 10 – 100 ТэВ/ЧАСТИЦУ

*А.Я.Варковицкая, Е.А.Замчалова, В.И.Зацепин, Т.В.Лазарева,
Г.П.Сажина, Н.В.Сокольская*

*Научно-исследовательский институт ядерной физики Московского государственного
университета им.М.В.Ломоносова*

119899 Москва, Россия

Поступила в редакцию 4 марта 1993 г.

В серии из 10 баллонных полетов, начатых в 1975 г. и продолжавшихся до 1987 г., были выполнены прямые измерения энергетических спектров основных компонент первичных космических лучей (ПКЛ). В настоящей статье приводятся результаты, полученные с использованием всей накопленной статистики. Показано, что спектр протонов ПКЛ при энергиях выше 10 ТэВ круче, чем в области меньших энергий, и круче спектров остальных ядер.

Для выяснения, механизмов ускорения и природы источников космических лучей наибольший интерес в экспериментальном плане представляют измерения энергетических спектров основных групп ядер ПКЛ в области энергий выше 1 ТэВ. Впервые такие измерения были выполнены на спутниках "Протон" ¹. Исследование этой области энергий было продолжено в двух баллонных экспериментах с рентгеново-эмulsionционными камерами: JACEE ^{2,3} и MUBEE (Moscow University Balloon Emulsion Experiment) ⁴, а также в эксперименте "Сокол", выполненном в космическом пространстве ^{5,6}. В этой статье мы представим суммарные результаты, полученные в эксперименте MUBEE в серии из 6 коротких ($T \simeq 40$ час) и 4 длительных ($T \simeq 150$ час) экспозиций.

Экспериментальная техника. Каждая рентгеново-эмulsionционная камера, экспонированная на баллонах, состояла из 25 слоев свинцового поглотителя и регистрирующих рентгеновских и ядерных пленок между ними. Площадь камеры составляла $\sim 0,4 \text{ м}^2$, толщина поглотителя по вертикали 14,7 каскадных единиц. Рентгеновские пленки служили для визуального поиска каскадов и определения их энергии ΣE_γ . Энергетическое разрешение по ΣE_γ составляет $\sim 12\%$ и не зависит ни от энергии, ни от типа первичной частицы. Полная энергия первичной частицы типа j определялась из соотношения

$$E_j = \Sigma E_\gamma / (k_{\gamma,eff})_j.$$

Значения $(k_{\gamma,eff})_j$ были рассчитаны для спектра с показателем $\beta = 1,7$ и приняты равными 0,25, 0,17, 0,116, 0,106 и 0,09 соответственно для протонов, ядер гелия и ядер групп М ($A = 14$), Н ($A = 26$) и VH ($A = 51$). Ядерные эмульсии служили для определения траектории частицы, измерения ее заряда и энергетической калибровки методом счета треков. Пространственная точность при прослеживании составляла $\sim 200 \text{ мкм}$, угловая точность $\sim 0,2^\circ$. Заряд первичных частиц с $Z \geq 6$ измерялся путем сканирования трека в ядерной эмульсии на сканирующем микрофотометре. Разрешение по Z составляло 1, 1,7 и 3 единиц заряда соответственно для ядер групп М, Н и VH. Заряд ядер гелия определялся методом счета зерен. Если на траектории каскада не было найдено трека первичной частицы с зарядом $Z \geq 2$, то каскад считался

образованным протоном. Фон одиночных γ -квантов из остаточной атмосферы составлял $\sim 5\%$ от протонных каскадов.

Для определения абсолютного потока вычислялась обобщенная характеристика экспозиции $\Gamma = \langle S\Omega\eta W \rangle$. Она учитывала не только геометрический фактор прибора $S\Omega$, но и трансформацию первичного потока в остаточной атмосфере η и вероятность взаимодействия в камере при заданных условиях отбора W .

Результаты. Статистические данные о количестве зарегистрированных первичных частиц N в интервале зенитных углов $25 - 60^\circ$ приведены в таблице. В ней указаны также факторы экспозиции ΓT ($\text{м}^2 \cdot \text{ср} \cdot \text{час}$) для каждого энергетического интервала и каждого типа первичной частицы. Меньшие значения фактора ΓT в некоторых младших энергетических интервалах связаны с более высокими энергетическими порогами по измеренной энергии ΣE_γ в двух длительных экспозициях по сравнению с остальными экспозициями.

| $E, \text{ТэВ}$ | p^* | | He | | M | | H | | VH | |
|-----------------|-------|------------|-----|------------|-----|------------|-----|------------|-----|------------|
| | N | ΓT | N | ΓT | N | ΓT | N | ΓT | N | ΓT |
| 10–12,6 | 194 | 90 | | | | | | | | |
| 12,6–15,8 | 137 | 113 | | | | | | | | |
| 15,8–20 | 104 | 113 | 22 | 50 | 15 | 93 | | | | |
| 20–25 | 70 | 136 | 11 | 50 | 15 | 93 | 21 | 76 | | |
| 25–40 | 61 | 136 | 8 | 50 | 24 | 141 | 27 | 76 | 3 | 65 |
| 40–80 | 27 | 136 | 4 | 50 | 17 | 141 | 21 | 115 | 2 | 65 |
| 80–160 | 7 | 136 | 5 | 50 | 7 | 141 | 9 | 115 | 2 | 98 |
| 160–320 | 2 | 136 | 0 | 50 | 4 | 141 | 2 | 115 | 0 | 98 |
| > 320 | 0 | 136 | 1 | 50 | 0 | 141 | 0 | 115 | 0 | 98 |

В длительных полетах из-за высокого фона нам не удалось идентифицировать каскады, образованные ядрами гелия (в дальнейшем α -каскады). Поэтому спектр ядер гелия построен только по шести коротким полетам. Для построения суммарного по всем экспозициям спектра протонов мы использовали смесь протонных и α -каскадов (p^* в таблице). В коротких полетах доля α -каскадов в смеси $p + \alpha$ составляла $24 \pm 4\%$. Поэтому интенсивность протонов мы определяли по формуле

$$i_p = p^* / \Delta E_p \Gamma_p T k_1 k_2,$$

где $k_1 = 1,24$ учитывает примесь α -каскадов, а $k_2 = 1,25$ исправляет завышение интенсивности из-за конечного энергетического разрешения. Интенсивность остальных групп ядер определялась по формуле

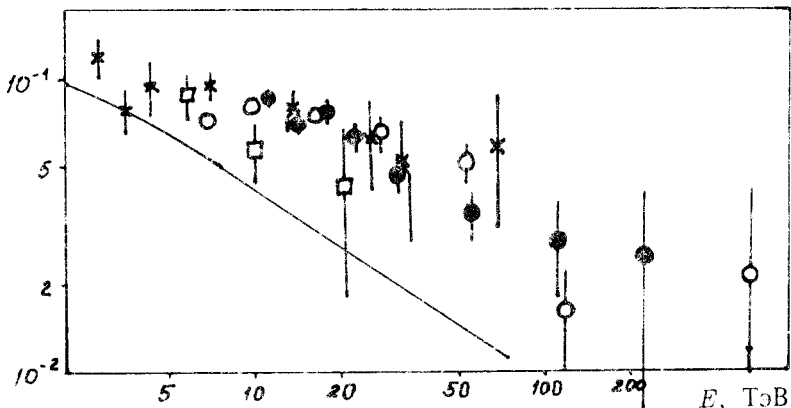
$$i_j = N_j / \Delta E_j \Gamma_j T k_2.$$

Обсуждение полученных результатов. Из-за ограниченного объема статьи мы обсудим здесь только данные по протонной компоненте. Полученные нами данные по спектру протонов представлены на рисунке и могут быть описаны в виде

$$i_p = A E^{-(\beta+1)},$$

где $A = 0,3 \text{ м}^{-2} \cdot \text{с}^{-1} \cdot \text{ср}^{-1} \cdot \text{ТэВ}^{-1}$, а $\beta + 1 = 3,14 \pm 0,08$, E в ТэВ.

$$i \cdot E^{2.62}, \text{ м}^{-2} \text{с}^{-1} \text{ср}^{-1} \text{ТэВ}^{1.62}$$



Энергетический спектр протонов: • – настоящая работа, ◻ – работа ³, □ – ⁵, × – ⁶, сплошная линия – модель спектра из работы ¹

Сравнимая с нашей статистика протонных событий для области > 10 ТэВ собрана только коллаборацией JACEE ³. Из рисунка видно, что в области энергий > 10 ТэВ наши данные и данные JACEE практически совпадают. Такое совпадение приходится констатировать впервые с тех пор, как эти две группы сообщали свои первые результаты по протонному спектру. Наши данные указывали на то, что протонный спектр в области энергий > 10 ТэВ круче, чем в области энергий < 1 ТэВ ⁷, в то время как данные JACEE свидетельствовали об отсутствии изменений наклона вплоть по крайней мере до 100 ТэВ ⁸. После добавления статистики из длительных полетов ситуация в JACEE стала меняться. В работе ³ авторы отмечают недостаток протонов при высоких энергиях и интерпретируют этот факт как возможное укручивание спектра в области энергий > 40 ТэВ. Такая интерпретация в значительной степени определяется низкой интенсивностью, измеренной в JACEE в области энергий от 5 до 10 ТэВ (первая точка в данных JACEE на рисунке). Эта точка позволяет авторам провести спектр с наклоном 2,62 вплоть до 40 ТэВ и говорить об изломе только в области более высоких энергий. Спектр протонов, измеренный в эксперименте "Сокол" ^{6,7}, подтверждает представление о крутом спектре протонов в области энергий > 5 ТэВ, но статистическая точность этих данных невелика.

Увеличение крутизны спектра протонов и отличие его от спектра остальных ядер ПКЛ впервые было обнаружено в работе ¹. Представленные нами данные подтверждают этот результат, но область излома находится, по-видимому, при несколько более высокой энергии, чем в ¹. Так как утверждение об отличии спектров протонов и ядер имеет фундаментальное значение для проблемы происхождения и распространения космических лучей, необходимы дальнейшие детальные измерения спектров ПКЛ непосредственно в районе излома, то есть при энергиях 1–10 ТэВ.

-
1. Н.Л.Григоров, В.Е.Нестеров, И.Д.Рапопорт и др., ЯФ 11, 1058 (1970).
 2. K.Asakimori, T.H.Burnett, M.L.Cherry, et al., Proc. 22 ICRC 2, 57 (1991).

3. K.Asakimori, T.H.Burnett, M.L.Cherry et al., Proc. 22 ICRC **2**, 97 (1991).
4. V.I.Zatsepin, G.P.Sazhina, N.V.Sokolskaya et al., Proc. 21 ICRC **3**, 81 (1990).
5. Н.Л.Григоров, ЯФ **51**, 157 (1990).
6. I.P.Ivanenko, V.Ya.Shestoperov, L.O.Chikova et al., Proc. 21 ICRC **3**, 77 (1990).
7. K.V.Mandritskaya, G.P.Sazhina, N.V.Sokolskaya et al., Proc. 19 ICRC **6**, 228 (1985).
8. T.H.Burnett, S.Dake, J.H.Derriokson et al., Ap. J., 348: L25-L28 (1990).